

**ПРЕДСТАВЛЕНИЕ РЕШЕНИЯ ЗАДАЧИ О РЕАКЦИИ  
МНОГОСЛОЙНОГО ПОЛУПРОСТРАНСТВА С НАЧАЛЬНЫМИ  
НАПРЯЖЕНИЯМИ НА ПОДВИЖНУЮ НАГРУЗКУ. СЖИМАЕМЫЙ  
МАТЕРИАЛ**

В данной статье в рамках линеаризированной теории упругости для тел с начальными напряжениями [1] исследовано влияние начальных напряжений и скорости движения поверхностной нагрузки на значения корней характеристических уравнений для слоистого сжимаемого полупространства.

§1. При решении пространственных задач об установившемся движении многослойного предварительно напряженного полупространства при воздействии подвижной нагрузки с использованием интегрального преобразования Фурье представление решений зависит от корней характеристических уравнений трансформированных дифференциальных уравнений в частных производных шестого порядка, описывающих движение элементов многослойной среды. В случае однородного начального напряженного состояния

$$\lambda_1^{(s)} \neq \lambda_2^{(s)} \neq \lambda_3^{(s)}; S_0^{(s)11} \neq S_0^{(s)22} \neq S_0^{(s)33} \quad (1)$$

эти уравнения имеют вид

$$a_0^{(s)} \eta^{(s)6} - a_1^{(s)} \eta^{(s)4} + a_2^{(s)} \eta^{(s)2} - a_3^{(s)} = 0; \quad s = \overline{1, N+1}. \quad (2)$$

Здесь  $s$  - номер слоя. Подстилающее полупространство имеет номер  $N+1$ . В случае, если материал слоя - сжимаемый, то коэффициенты уравнения (2) можно представить в виде

$$\begin{aligned} a_0^{(s)} &= c_{31}^{(s)2} c_{32}^{(s)2} c_{33}^{(s)2}; \quad a_1^{(s)} = -k_1^2 \left[ c_{33}^{(s)2} (c_{11}^{(s)2} c_{32}^{(s)2} + c_{12}^{(s)2} c_{31}^{(s)2}) + c_{31}^{(s)2} c_{32}^{(s)2} c_{13}^{(s)2} - \right. \\ &\quad \left. - c_{32}^{(s)2} d_{13}^{(s)2} - v^2 \cos^2 \phi (c_{31}^{(s)2} c_{32}^{(s)2} + c_{31}^{(s)2} c_{33}^{(s)2} + c_{32}^{(s)2} c_{33}^{(s)2}) \right] - k_2^2 \left[ c_{31}^{(s)2} c_{32}^{(s)2} c_{23}^{(s)2} + \right. \\ &\quad \left. + c_{33}^{(s)2} (c_{21}^{(s)2} c_{32}^{(s)2} + c_{22}^{(s)2} c_{31}^{(s)2}) - c_{31}^{(s)2} d_{23}^{(s)2} \right]; \quad a_2^{(s)} = k_1^4 \left\{ c_{11}^{(s)2} (c_{12}^{(s)2} c_{33}^{(s)2} + c_{32}^{(s)2} c_{13}^{(s)2}) + \right. \\ &\quad \left. + c_{12}^{(s)2} c_{31}^{(s)2} c_{13}^{(s)2} - c_{12}^{(s)2} d_{13}^{(s)2} - v^2 \cos^2 \phi \left[ c_{11}^{(s)2} (c_{32}^{(s)2} + c_{33}^{(s)2}) + c_{12}^{(s)2} (c_{31}^{(s)2} + c_{33}^{(s)2}) + \right. \right. \end{aligned}$$

$$\begin{aligned}
 & +c_{13}^{\{s\}2} \left( c_{31}^{\{s\}2} + c_{32}^{\{s\}2} \right) - d_{13}^{\{s\}2} \Big] + k_2^4 \left\{ c_{22}^{\{s\}2} \left( c_{21}^{\{s\}2} c_{33}^{\{s\}2} + c_{31}^{\{s\}2} c_{23}^{\{s\}2} \right) + c_{21}^{\{s\}2} c_{32}^{\{s\}2} c_{23}^{\{s\}2} - \right. \\
 & - c_{21}^{\{s\}2} d_{23}^{\{s\}2} - v^2 \sin^2 \phi \left[ c_{32}^{\{s\}2} \left( c_{21}^{\{s\}2} + c_{23}^{\{s\}2} \right) + c_{31}^{\{s\}2} \left( c_{22}^{\{s\}2} + c_{23}^{\{s\}2} \right) + c_{33}^{\{s\}2} \left( c_{21}^{\{s\}2} + c_{22}^{\{s\}2} \right) - \right. \\
 & \left. \left. - d_{23}^{\{s\}2} \right] \right\} + k_1^2 k_2^2 \left[ c_{11}^{\{s\}2} \left( c_{22}^{\{s\}2} c_{33}^{\{s\}2} + c_{32}^{\{s\}2} c_{23}^{\{s\}2} \right) + c_{21}^{\{s\}2} \left( c_{12}^{\{s\}2} c_{33}^{\{s\}2} + c_{32}^{\{s\}2} c_{13}^{\{s\}2} \right) + \right. \\
 & + c_{31}^{\{s\}2} \left( c_{12}^{\{s\}2} c_{23}^{\{s\}2} + c_{22}^{\{s\}2} c_{13}^{\{s\}2} \right) - c_{11}^{\{s\}2} d_{23}^{\{s\}2} - c_{22}^{\{s\}2} d_{13}^{\{s\}2} - c_{33}^{\{s\}2} d_{12}^{\{s\}2} + 2d_{12}^{\{s\}2} d_{13}^{\{s\}2} d_{23}^{\{s\}2} + \\
 & \left. + v^4 \sin^2 \phi \cos^2 \phi \left( c_{31}^{\{s\}2} + c_{32}^{\{s\}2} + c_{33}^{\{s\}2} \right) \right]; \quad a_3^{\{s\}} = -k_1^6 \left[ c_{11}^{\{s\}2} c_{12}^{\{s\}2} c_{13}^{\{s\}2} - \right. \\
 & \left. - v^2 \cos^2 \phi \left( c_{11}^{\{s\}2} c_{12}^{\{s\}2} + c_{11}^{\{s\}2} c_{13}^{\{s\}2} + c_{12}^{\{s\}2} c_{13}^{\{s\}2} \right) + v^4 \cos^4 \phi \left( c_{11}^{\{s\}2} + c_{12}^{\{s\}2} + c_{13}^{\{s\}2} \right) \right] - \\
 & - k_2^6 \left[ v^4 \sin^4 \phi \left( c_{21}^{\{s\}2} + c_{22}^{\{s\}2} + c_{23}^{\{s\}2} \right) - v^2 \sin^2 \phi \left( c_{21}^{\{s\}2} c_{22}^{\{s\}2} + c_{21}^{\{s\}2} c_{23}^{\{s\}2} + c_{22}^{\{s\}2} c_{23}^{\{s\}2} \right) + \right. \\
 & + c_{21}^{\{s\}2} c_{22}^{\{s\}2} c_{23}^{\{s\}2} \Big] - k_1^4 k_2^2 \left\{ c_{11}^{\{s\}2} \left( c_{12}^{\{s\}2} c_{23}^{\{s\}2} + c_{22}^{\{s\}2} c_{13}^{\{s\}2} \right) + c_{21}^{\{s\}2} c_{12}^{\{s\}2} c_{13}^{\{s\}2} - c_{13}^{\{s\}2} d_{12}^{\{s\}2} - \right. \\
 & \left. - v^2 \cos^2 \phi \left[ c_{11}^{\{s\}2} \left( c_{22}^{\{s\}2} + c_{23}^{\{s\}2} \right) + c_{12}^{\{s\}2} \left( c_{21}^{\{s\}2} + c_{23}^{\{s\}2} \right) + c_{13}^{\{s\}2} \left( c_{21}^{\{s\}2} + c_{22}^{\{s\}2} \right) - d_{12}^{\{s\}2} \right] \right\} - \\
 & - k_1^2 k_2^4 \left[ c_{22}^{\{s\}2} \left( c_{11}^{\{s\}2} c_{23}^{\{s\}2} + c_{21}^{\{s\}2} c_{13}^{\{s\}2} \right) + c_{21}^{\{s\}2} c_{12}^{\{s\}2} c_{23}^{\{s\}2} - c_{23}^{\{s\}2} d_{12}^{\{s\}2} - v^6 \cos^2 \phi \sin^4 \phi \right];
 \end{aligned} \tag{3}$$

где

$$\tilde{\rho}^{\{s\}} c_{ij}^{\{s\}2} = \tilde{\omega}_{ijji}^{\{s\}}; \quad \tilde{\rho}^{\{s\}} d_{ij}^{\{s\}} = \tilde{\omega}_{i122}^{\{s\}} + \tilde{\omega}_{2121}^{\{s\}}; \quad k_1, k_2 - \text{параметры двойного}$$

преобразования Фурье,  $v$  - скорость движения поверхностной нагрузки,  $\phi$  - угол, который образует траектория движения нагрузки с положительным направлением оси абсцисс (нагрузка движется прямолинейно с постоянной скоростью),  $\tilde{\rho}^{\{s\}}$  - плотность соответствующего элемента многослойной среды в естественном состоянии. Формулы для вычисления компонентов тензора  $\tilde{\omega}$  для различных вариантов теорий конечных и малых начальных деформаций приведены в [1].

Так как уравнения (2) – бикубические алгебраические уравнения, то их решение можно получить классическим способом. Приведем уравнения (2) заменой

$$\eta^{\{s\}2} = \mu^{\{s\}2} - \frac{a_1^{\{s\}}}{3a_0^{\{s\}}} \tag{4}$$

к виду

$$\mu^{\{s\}6} + p^{\{s\}} \mu^{\{s\}2} + q^{\{s\}} = 0, \tag{5}$$

где

$$p^{\{s\}} = -\frac{a_1^{\{s\}2}}{3a_0^{\{s\}2}} + \frac{a_2^{\{s\}}}{a_0^{\{s\}}}; \quad q^{\{s\}} = \frac{2a_1^{\{s\}3}}{27a_0^{\{s\}3}} - \frac{a_1^{\{s\}} a_2^{\{s\}}}{3a_0^{\{s\}2}} + \frac{a_3^{\{s\}}}{a_0^{\{s\}}}.$$

В случае, если дискриминант  $\Delta^{\{s\}} = \frac{q^{\{s\}2}}{4} + \frac{p^{\{s\}3}}{27} = 0$ , уравнения (5)

при  $p^{\{s\}} \neq 0$ ,  $q^{\{s\}} \neq 0$  имеют один простой и один двукратный корень

$$\mu_1^{\{s\}2} = \frac{3q^{\{s\}}}{p^{\{s\}}}; \quad \mu_{2,3}^{\{s\}2} = -\frac{3q^{\{s\}}}{2p^{\{s\}}}. \quad (6)$$

Если  $\Delta^{\{s\}} \neq 0$ , то уравнение (5) имеет три различных корня. При  $\Delta^{\{s\}} > 0$  уравнения (6) имеют один действительный корень и два комплексных

$$\mu_1^{\{s\}2} = u_0^{\{s\}} + v_0^{\{s\}}; \quad \mu_{2,3}^{\{s\}2} = -\frac{u_0^{\{s\}} + v_0^{\{s\}}}{2} \pm i \frac{(u_0^{\{s\}} - v_0^{\{s\}})\sqrt{3}}{2}. \quad (7)$$

Здесь

$$u_0^{\{s\}} = \sqrt[3]{-\frac{q^{\{s\}}}{2} + \sqrt{\Delta^{\{s\}}}}; \quad v_0^{\{s\}} = -\frac{p^{\{s\}}}{3u_0^{\{s\}}};$$

При  $\Delta^{\{s\}} < 0$  все три корня уравнения (5) будут действительными и различными

$$\mu_1^{\{s\}2} = 2 \left| \sqrt[3]{r^{\{s\}}} \right| \cos \frac{\phi^{\{s\}}}{3}; \quad \mu_2^{\{s\}2} = 2 \left| \sqrt[3]{r^{\{s\}}} \right| \cos \frac{\phi^{\{s\}} + 2\pi}{3}; \quad (8)$$

$$\mu_3^{\{s\}2} = 2 \left| \sqrt[3]{r^{\{s\}}} \right| \cos \frac{\phi^{\{s\}} + 4\pi}{3}.$$

Здесь

$$\left| \sqrt[3]{r^{\{s\}}} \right| = \left| \sqrt{-\frac{p^{\{s\}}}{3}} \right|; \quad \cos \phi^{\{s\}} = -\frac{q^{\{s\}}}{2r^{\{s\}}}.$$

Таким образом, при  $\Delta^{\{s\}} = 0$  в случае, если  $p^{\{s\}} \neq 0$  и  $q^{\{s\}} \neq 0$  и имеют разные знаки, уравнение (2) имеет два действительных двукратных корня и два чисто мнимых. Если  $p^{\{s\}} \neq 0$  и  $q^{\{s\}} \neq 0$  и имеют одинаковые знаки, уравнение (2) имеет два действительных корня и два двукратных чисто мнимых.

При  $\Delta^{\{s\}} > 0$ , если  $\mu_1^{\{s\}2} > 0$  уравнение (2) имеет два действительных корня и четыре комплексных, если  $\mu_1^{\{s\}2} < 0$  - шесть комплексных.

При  $\Delta^{\{s\}} < 0$  уравнение (2) имеет шесть различных корней. Действительные корни будут соответствовать положительным значениям корней уравнения (5) и определяться знаком тригонометрической функции в выражениях (8).

§2. Так как выражения (3) для коэффициентов уравнений (2) - довольно громоздкие выражения, аналитическое исследование корней характеристического уравнения представляется сложным. Численные исследования были проведены для сжимаемого материала с гармоническим потенциалом

$$\Phi = \frac{1}{2} \lambda s_1^2 + \mu s_2,$$

где  $\lambda$ ,  $\mu$  - постоянные Ламе. Величины  $s_1$  и  $s_2$  представляют собой первый и второй инварианты тензора деформаций линейной теории упругости, отнесенные к главным осям

$$s_1 = (\lambda_1 - 1) + (\lambda_2 - 1) + (\lambda_3 - 1);$$

$$s_2 = (\lambda_1 - 1)^2 + (\lambda_2 - 1)^2 + (\lambda_3 - 1)^2.$$

Для теории конечных (больших) начальных деформаций и первого варианта малых начальных деформаций выражения для определения составляющих тензора  $\tilde{\omega}$  при условии (1) имеют вид

$$\tilde{\omega}_{1111} = \frac{\lambda_1 (\lambda + 2\mu)}{\lambda_2 \lambda_3}; \quad \tilde{\omega}_{2222} = \frac{\lambda_2 (\lambda + 2\mu)}{\lambda_1 \lambda_3}; \quad \tilde{\omega}_{3333} = \frac{\lambda_3 (\lambda + 2\mu)}{\lambda_1 \lambda_2};$$

$$\tilde{\omega}_{1122} = \tilde{\omega}_{2211} = \frac{\lambda}{\lambda_3}; \quad \tilde{\omega}_{1133} = \tilde{\omega}_{3311} = \frac{\lambda}{\lambda_2}; \quad \tilde{\omega}_{2233} = \tilde{\omega}_{3322} = \frac{\lambda}{\lambda_1};$$

$$\tilde{\omega}_{1212} = \tilde{\omega}_{2121} = \frac{2\mu - \lambda(\lambda_1 + \lambda_2 + \lambda_3 - 3)}{\lambda_3(\lambda_1 + \lambda_2)}; \quad \tilde{\omega}_{1313} = \tilde{\omega}_{3131} = \frac{\lambda_3 \tilde{\omega}_{1212}}{\lambda_2};$$

$$\tilde{\omega}_{2323} = \tilde{\omega}_{3232} = \frac{\lambda_3 \tilde{\omega}_{1212}}{\lambda_1}; \quad \tilde{\omega}_{1221} = \frac{\lambda_1 [(2\mu + \lambda)(\lambda_1 + \lambda_2 - 1) + \lambda(\lambda_3 - 2)]}{\lambda_2 \lambda_3 (\lambda_1 + \lambda_2)};$$

$$\tilde{\omega}_{2112} = \frac{\lambda_2^2 \tilde{\omega}_{1221}}{\lambda_1^2}; \quad \tilde{\omega}_{3113} = \frac{2\mu [\lambda_1 + (\lambda_3 - 1)(\lambda_1 + \lambda_2)] + \lambda \lambda_2 (\lambda_1 + \lambda_2 + \lambda_3 - 3)}{\lambda_1 \lambda_2 (\lambda_1 + \lambda_2)};$$

$$\tilde{\omega}_{1331} = \frac{2\mu [\lambda_3 + (\lambda_1 + \lambda_2)(\lambda_1 - 1)] - \lambda(\lambda_1 + \lambda_2 + \lambda_3 - 3)(\lambda_1 + \lambda_2 - \lambda_3)}{\lambda_2 \lambda_3 (\lambda_1 + \lambda_2)};$$

$$\tilde{\omega}_{2332} = \frac{2\mu [\lambda_3 + (\lambda_1 + \lambda_2)(\lambda_2 - 1)] - \lambda(\lambda_1 + \lambda_2 + \lambda_3 - 3)(\lambda_3 - \lambda_1 - \lambda_2)}{\lambda_1 \lambda_3 (\lambda_1 + \lambda_2)};$$

$$\tilde{\omega}_{3223} = \frac{2\mu [(\lambda_1 + \lambda_2)\lambda_3 - \lambda_1] + \lambda \lambda_1 (\lambda_1 + \lambda_2 + \lambda_3 - 3)}{\lambda_1 \lambda_2 (\lambda_1 + \lambda_2)}.$$

Учтем, что  $\lambda = \frac{2\mu\nu}{1-2\nu}$ , где  $\nu$  - коэффициент Пуассона, и пронормируем все величины по величине  $\mu/\rho$ . Численные расчеты проводились для  $\nu = 0,3$ . Начальные удлинения менялись в

диапазоне от 0,8 до 1,2. Целью исследования была оценка возможных значений корней уравнения (2) и влияние начальных деформаций и скорости движения поверхностной нагрузки на значения корней характеристического уравнения (2) и соответственно на выбор решения исследуемой задачи.

Поверхность, соответствующая функции  $\Delta^{(s)}$ , при фиксированных значениях параметров  $\lambda_i^{(s)}$  ( $i = 1, 2, 3$ ),  $v$  и  $\phi$  имеет вид, показанный на рис.1. Причем форма поверхности не изменяется в диапазоне  $0.8 \leq \lambda_i^{(s)} \leq 1.2$ ,  $0 \leq v^2 \leq c_{11}^{(s)2}$ ,  $0 \leq \phi \leq 2\pi$ . Анализ численных значений  $\Delta^{(s)}$  позволяет утверждать, что дискриминант уравнения (2) принимает в указанной области исследуемых параметров неотрицательные значения ( $\Delta^{(s)} \geq 0$ ).

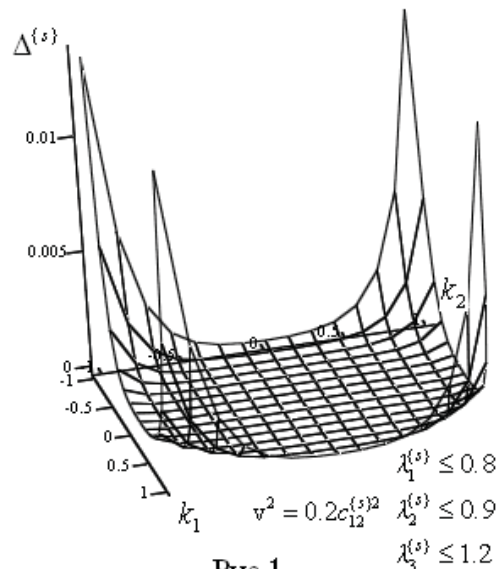


Рисунок 1

На рис. 2 и 3 проиллюстрировано влияние скорости и траектории движения нагрузки на значение дискриминанта уравнения (2). Как видно из рисунков начальные напряжения, скорость движения нагрузки и направление ее движения существенно влияют на значение функции  $\Delta^{(s)}$ . Очевидно, что при определенной скорости нагрузки влияние начальных напряжений уменьшается. От направления движения нагрузки зависит расположение области наименьшего влияния начальных напряжений.

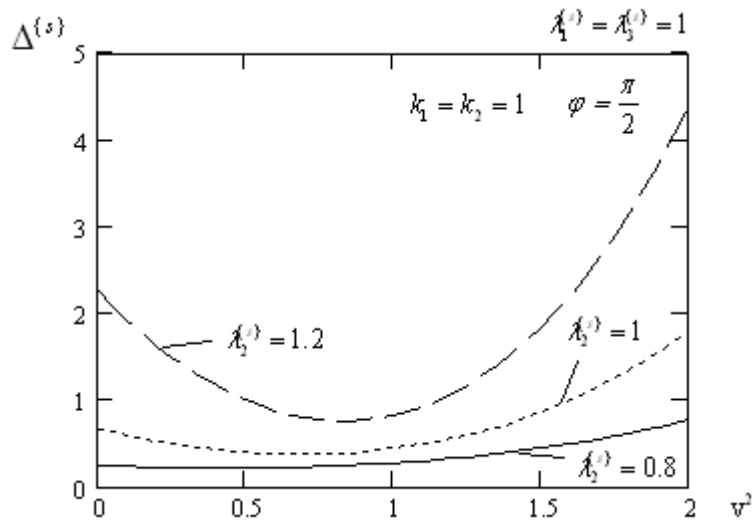


Рисунок 2

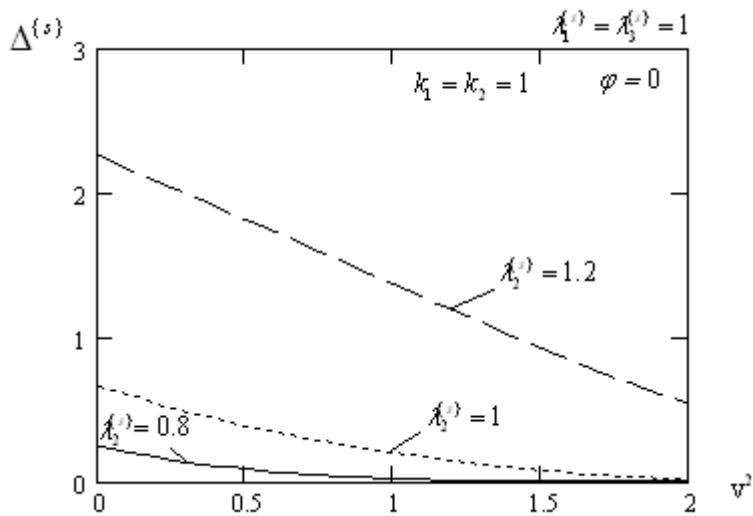


Рисунок 3

## ЛИТЕРАТУРА

1. Гузь А.Н. Механика хрупкого разрушения материалов с начальными напряжениями. - Киев: Наук. думка, 1983. - 296 с.

Получено 28.02.2009г.